

1. Teoria de Grafos

1.1. Definições Básicas

A Teoria de Grafos é um ramo da matemática que estuda as relações entre os objetos de um determinado conjunto. Um **grafo** é uma estrutura composta por **vértices** (nós) e **arestas** (arcos), de tal maneira que diversos problemas podem ser formulados utilizando esta estrutura.

Formalmente falando, um grafo $G = (V, E)$ é definido da seguinte forma:

- V é o conjunto finito de elementos denominados vértices e
- E é o conjunto finito de pares **não ordenados** de vértices chamados de arestas. Na prática, uma aresta conecta dois vértices.

A Figura 1 apresenta um exemplo de grafo, em que $V = \{A, B, C, D\}$ e $E = \{(A, B), (A, C), (B, D)\}$. Como mencionado anteriormente, E é um conjunto não ordenado de vértices, o que significa que as arestas $e_1 = (A, B)$ e $e_2 = (B, A)$ representam a mesma relação e, por isso, apenas uma delas é incluída no conjunto E .

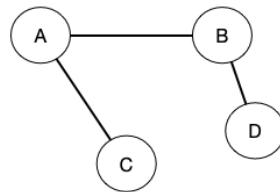


Figura 1: Exemplo de um grafo.

Algumas definições adicionais incluem: seja $e = (A, B)$ uma aresta tal que $e \in E$. Dizemos que A e B são os **extremos** desta aresta, e que A e B são vértices **adjacentes**. Ademais, temos que o **tamanho** do grafo G é dado por $|V| + |E|$, em que $|V|$ e $|E|$ denotam, respectivamente, o número de vértices e arestas. No exemplo da Figura 1, temos que $|V| = 4$ e $|E| = 3$.

Dizemos que um grafo é **simples** (Figura 1, por exemplo) quando o mesmo não possui **laços** ou **arestas múltiplas**. Um laço é uma aresta com extremos idênticos, ao passo que arestas múltiplas são definidas como sendo duas ou mais arestas com o mesmo par de extremos, conforme demonstrado na Figura 2.

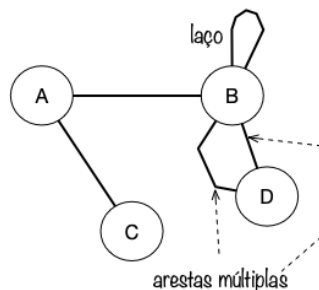


Figura 2: Exemplo de laços e arestas múltiplas em um grafo.

Dizemos que $H = (V', E')$ é um **subgrafo** de $G = (V, E)$ quando $V' \subseteq V$ e $E' \subseteq E$. Já o grafo $J = (V, E')$ é dito ser subgrafo **gerador** de G quando $E' \subseteq E$. A Figura 3 ilustra esses conceitos.

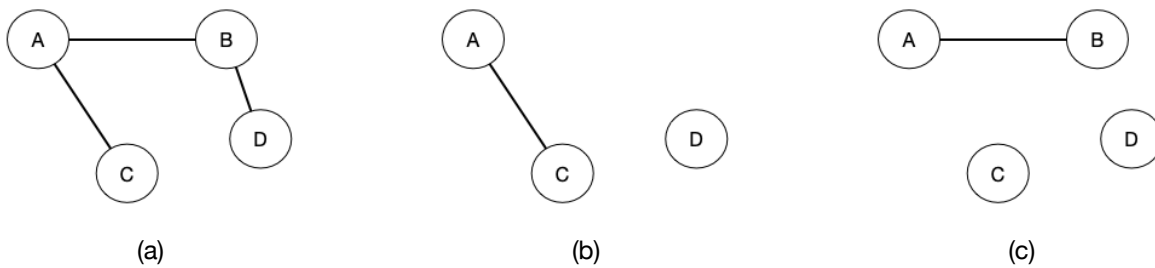


Figura 3: (a) grafo G , (b) subgrafo H e (c) subgrafo gerador J .

Já com relação ao **grau** de um vértice $v \in V$, denotado por $d(v)$, o mesmo diz respeito à quantidade de nós adjacentes à v , sendo que laços contam duas vezes. Na Figura 4, por exemplo, temos que $d(A) = 2$, $d(B) = 4$, $d(C) = 1$ e $d(D) = 1$.

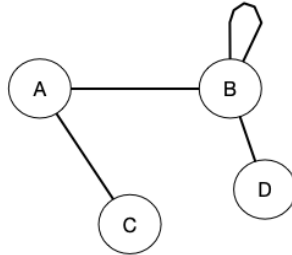


Figura 4: Exemplo de um grafo para contagem de graus de seus nós.

De acordo com o teorema conhecido por **Handshake Lemma**, temos a seguinte afirmação:

$$\sum_{v \in V} d(v) = 2 |E|. \quad (1)$$

Vamos tentar provar por indução? A prova será realizada de acordo com o **número de vértices** no conjunto V . Conforme vimos em aulas anteriores, uma prova por indução possui os seguintes passos:

1. **Base:** seja $G = (V, E)$ um grafo com apenas um vértice v , ou seja, $|V| = 1$. Neste caso, existem duas possibilidades: (i) $d(v) = 0$ e (ii) $d(v) = 2$. Na primeira opção, temos que o número de arestas é igual à zero, ou seja, $|E| = 0$. Assim sendo, a Equação 1 é verdadeira, ou seja, $\sum_{v \in V} d(v) = 2 |E| = 2 \cdot 0 = 0$. Para o segundo caso, temos que G possui um laço no vértice v , ou seja, $d(v) = 2$. Neste caso, a Equação 1 também é verdadeira, ou seja, $\sum_{v \in V} d(v) = 2 |E| = 2 \cdot 1 = 2$.
2. **Hipótese de Indução:** seja $G = (V, E)$ um grafo tal que a Equação 1 seja verdadeira.
3. **Passo de Indução:** seja $G' = (V', E')$ um grafo tal que $V' = V \cup \{v^*\}$, ou seja, G' é formado pelos mesmos vértices de G acrescido do nó v^* . Assim sendo, de acordo com o Handshake Lemma, temos que:

$$\sum_{v' \in V'} d(v') = 2 |E'|. \quad (2)$$

A equação acima pode ser escrita da seguinte forma:

$$\sum_{v' \in V'} d(v') = \sum_{v \in V} d(v) + 2d(v^*), \quad (3)$$

o que significa, na prática, que a somatória dos graus dos vértices de G' é igual à somatória dos graus dos vértices de G acrescida do dobro do grau do novo vértice v^* . Mas por que o dobro? A razão é que, ao adicionarmos v^* no grafo G , temos que grau de cada vértice adjacente à v^* vai **aumentar** em uma unidade.

Pela hipótese de indução (Equação 2), podemos representar a Equação 3 como segue:

$$\sum_{v' \in V'} d(v') = \sum_{v \in V} d(v) + 2d(v^*) = 2|E| + 2d(v^*) = 2(|E| + d(v^*)). \quad (4)$$

Temos que o número de arestas de G' é dado por $|E| + d(v^*)$, ou seja, o número de arestas do grafo G' é dado pelo número de arestas de G acrescido da quantidade de vizinhos do novo nó v^* . Desta forma, temos que $|E'| = |E| + d(v^*)$. Finalmente, a Equação 4 pode ser representada da seguinte forma:

$$\sum_{v' \in V'} d(v^*) = 2(|E| + d(v^*)) = 2|E'|. \quad (5)$$

Um **caminho** π em um grafo G é uma sequência finita e não vazia de vértices **sem repetição**, como ilustra a Figura 5. Neste caso, temos o caminho em vermelho $\pi = \{A, B, D\}$. Já o **comprimento** c de um caminho é dado pela quantidade de vértices que o mesmo visita, ou seja, $c(\pi) = 3$.

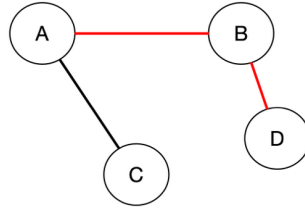
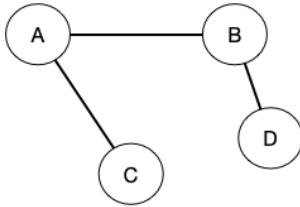
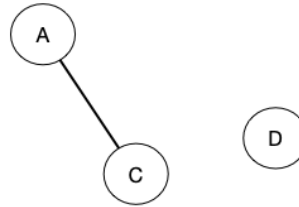


Figura 5: Exemplo de caminhos em grafos.

Dizemos que um grafo G é **conexo** se, para quaisquer dois vértices, existe um caminho conectando-os. Por outro lado, caso esta condição não possa ser satisfeita, dizemos que o grafo é **desconexo**, como ilustra a Figura 6.



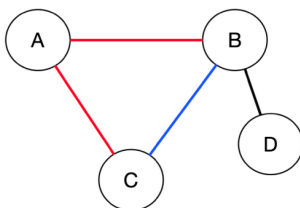
(a)



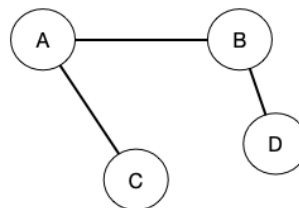
(b)

Figura 6: Exemplos de grafo: (a) conexo e (b) desconexo.

Finalmente, seja um grafo $G = (V, E)$ e dois nós $v_1, v_2 \in V$. Dizemos que G é **cíclico** quando existem, pelo menos, dois ou mais caminhos que possam v_1 e v_2 . Caso contrário, G é dito ser **acíclico**. A Figura 6 ilustra essas situações, em que o grafo apresentado na Figura 6a é dito ser cíclico porque existem dois caminhos distintos (azul e vermelho) que conectam os nós B e C .



(a)



(b)

Figura 6: Exemplos de grafo: (a) cíclico e (b) acíclico.

Os grafos também podem ser **ponderados** nas arestas, em que uma função $w : V \times V \rightarrow \mathbb{R}$ é responsável por associar um valor à cada uma delas. A Figura 7 ilustra um exemplo de grafo ponderado.

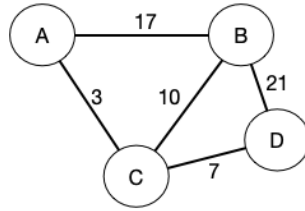


Figura 7: Exemplo de grafo ponderado, em que $w(A, B) = 17$.

Os tipos de grafos que vimos até agora são chamados de **grafos não direcionados** ou **grafos não orientados**. No entanto, existem grafos cujas arestas contemplam pares **ordenados** de vértices, sendo chamados de **grafos direcionados** ou **grafos orientados**. A Figura 8 apresenta um exemplo de grafo direcionado. Neste caso, nosso grafo $G = (V, E)$ é composto da seguinte maneira: $V = \{A, B, C, D\}$ e $E = \{(B, A), (A, C), (C, B), (B, D), (D, C)\}$. Assim sendo, temos que a aresta (B, A) representa um arco que **sai** de A e **entra** em B . Note que o oposto não é verdadeiro neste exemplo, ou seja, $(A, B) \notin E$. Podemos então dizer que B é vizinho de A , mas o contrário não é verdadeiro neste exemplo.

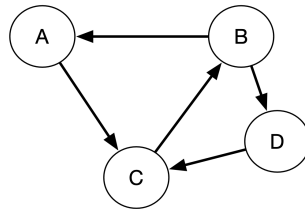


Figura 8: Exemplo de grafo direcionado.

Já com relação aos graus dos nós de um grafo direcionado, existem duas definições: o **grau de saída** d^+ e o **grau de entrada** d^- . O grau de saída $d^+(v)$ de um vértice $v \in V$ é dado pelo número de arestas que **saem** de v , ao passo que o grau de entrada $d^-(v)$ é dado pelo número de arestas que **entram** em v .

Considere o seguinte teorema: para todo grafo orientado $G = (V, E)$, temos que:

$$\sum_{v \in V} d^+(v) = \sum_{v \in V} d^-(v) = |E|. \quad (7)$$

A demonstração do teorema acima é bastante intuitiva. Seja o grafo orientado $G = (V, E)$ cujo teorema acima é válido. Seja, agora, um grafo orientado $G' = (V', E')$ de tal forma que $V' = V \cup \{v^*\}$. O número de arestas de G' é dado pelo número de arestas de G acrescido pelo número de arestas que entram e saem de v^* , ou seja, $|E'| = |E| + d^+(v^*) + d^-(v^*)$. Baseando-se no teorema, temos que:

$$\begin{aligned} |E'| &= |E| + d^+(v^*) + d^-(v^*) \\ &= \underbrace{\sum_{v \in V} d^+(v) - d^-(v^*)}_{\text{cancela}} + d^-(v^*) \\ &= \sum_{v \in V} d^+(v). \end{aligned} \quad (8)$$

Na formulação acima, tivemos que adicionar o termo em vermelho pois a somatória dos graus de saída de G' já contabiliza esse montante.

1.2. Representação

A complexidade de algoritmos baseados em grafos é dependente da maneira com a qual eles são representados. Basicamente, existem duas estruturas de dados principais utilizadas para representar grafos: (i) **matriz de adjacência** e (ii) **lista de adjacência**. O seu uso depende das operações que ditam a natureza do problema.

Dado um grafo qualquer $G = (V, E)$, a matriz de adjacência é uma matriz quadrada $A_{|V| \times |V|}$ cujas linhas e colunas são indexadas pelos vértices em G da seguinte forma:

$$A_{ij} = \begin{cases} 1 & \text{caso } (i, j) \in E \\ 0 & \text{caso contrário.} \end{cases} \quad (9)$$

A Figura 9 ilustra um exemplo de um grafo não direcionado e sua respectiva matriz de adjacência. Note que a matriz A é simétrica quando G é não orientado.

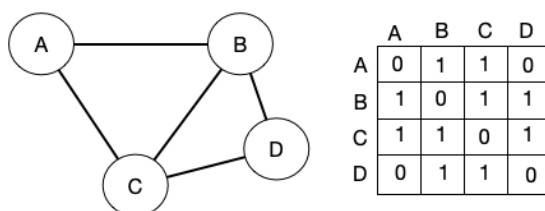


Figura 9: Exemplo de um grafo e sua respectiva matriz de adjacência.

Já a Figura 10 apresenta um grafo direcionado e sua respectiva matriz de adjacência. No caso, a mesma já não é mais simétrica.

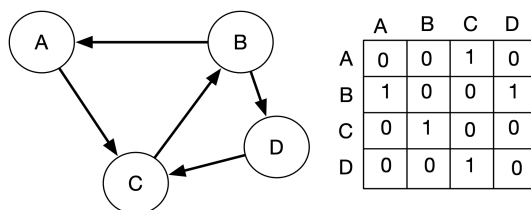


Figura 10: Exemplo de um grafo direcionado e sua respectiva matriz de adjacência.

Com relação à lista de adjacência, a mesma é construída com base na seguinte premissa: para cada vértice j vizinho de i , adicionamos j na lista ligada $L[i]$, em que L é o apontador para o primeiro elemento desta lista. Desta forma, $L[i]$ armazena todos os vizinhos do vértice i . As Figuras 11 e 12 apresentam exemplos de uma lista de adjacência para um grafo não direcionado e outro direcionado, respectivamente.

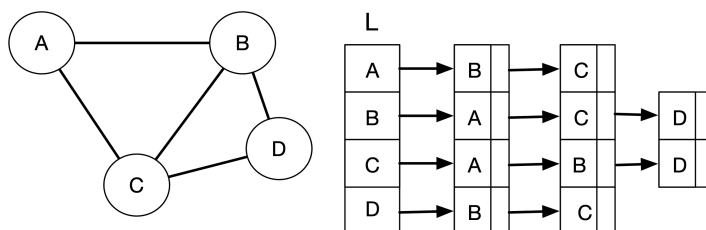


Figura 11: Exemplo de um grafo não direcionado e sua respectiva lista de adjacência.

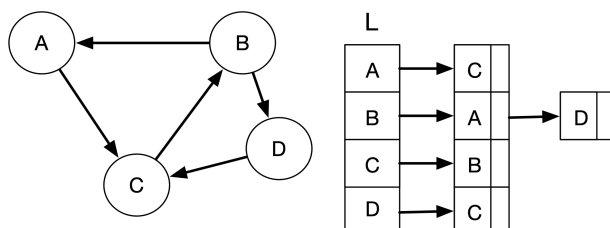


Figura 12: Exemplo de um grafo direcionado e sua respectiva lista de adjacência.

Este conteúdo foi baseado nas notas de aulas do Prof. Zanoni Dias (IC/Unicamp) disponíveis [aqui](https://www.ic.unicamp.br/~zanoni/teaching/mo417/2011-2s/aulas/handout/10-grafos-buscas.pdf)
(<https://www.ic.unicamp.br/~zanoni/teaching/mo417/2011-2s/aulas/handout/10-grafos-buscas.pdf>).

In []: